

Colóides liofílicos e liofóbicos, hidrofílicos e hidrofóbicos

- ✿ **Liofílicos**
- ✿ **Estáveis em altas concentrações de fase dispersa**
- ✿ **Inalterados até $I \sim 0.1$ M**
- ✿ **Estáveis sob diálise prolongada**
- ✿ **Resíduo seco redispersa espontaneamente**
- ✿ **Liofóbicos**
- ✿ **Só são estáveis em pequenas concentrações**
- ✿ **Precipitados por eletrólitos**
- ✿ **Instáveis sob diálise prolongada**
- ✿ **Irreversivelmente coagulados por secagem**

Colóides liofílicos e liofóbicos, *continuação*

- **Liofílicos**
- **Coagulação produz um gel**
- **Efeito Tyndall pequeno**
 - γ menor que o do meio
- **Liofóbicos**
- **Coagulação forma grânulos de forma definida**
- **Efeito Tyndall acentuado**
 - γ pouco alterado, com relação ao solvente

O que há de comum entre colóides liofílicos e liofóbicos

- ✿ Um conjunto de propriedades cinéticas, ópticas, elétricas e coligativas, diferentes das propriedades das soluções de íons ou moléculas discretos (ou micromoléculas)
- ✿ Compartilham técnicas de sedimentação, de espalhamento de luz, eletrocinéticas

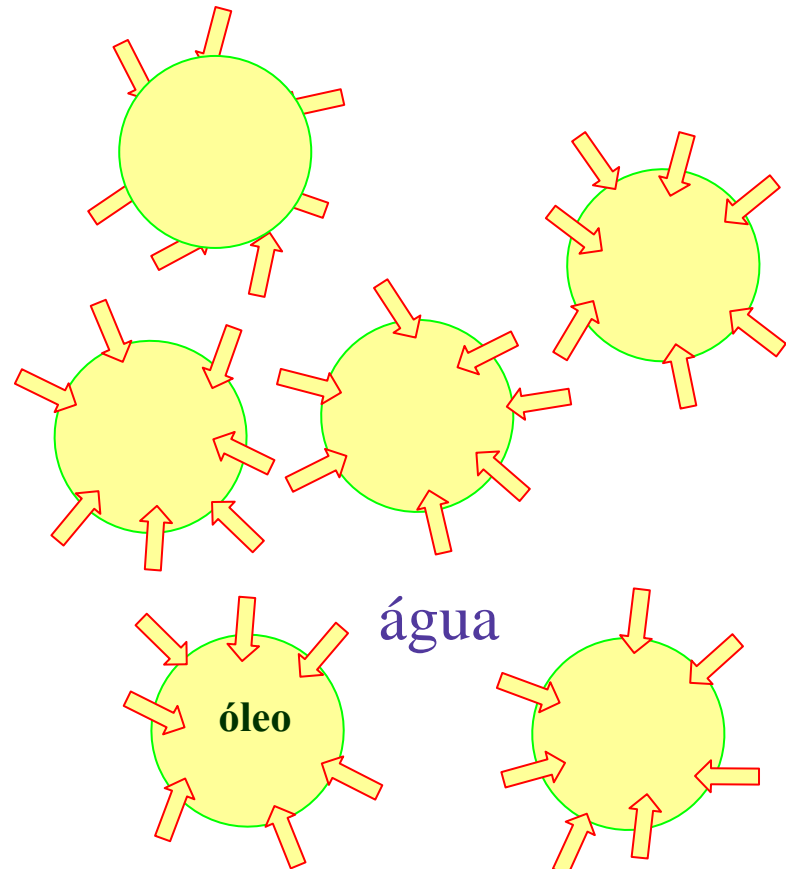
Estabilidade coloidal

- ✿ Sistemas coloidais hidrofílicos mostram *estabilidade termodinâmica*.
- ✿ Entretanto, muitos sistemas coloidais são termodinamicamente instáveis, tendo apenas uma “*estabilidade coloidal*”, aparente e de natureza cinética.
- ✿ Transformam-se com suficiente lentidão para parecerem estáveis na escala de tempo dos processos de fabricação, armazenamento e uso.

Que seja eterno enquanto dure...

- ✿ Muitos sistemas coloidais devem mostrar, em *diferentes momentos do seu ciclo de vida, tendências opostas*:
- ✿ em alguns momentos, devem ser muito *estáveis*;
- ✿ em outros, é *desejável* que as partículas se *agreguem* muito rapidamente.
- ✿ Exemplos: tinta látex, emulsionantes de petróleo.

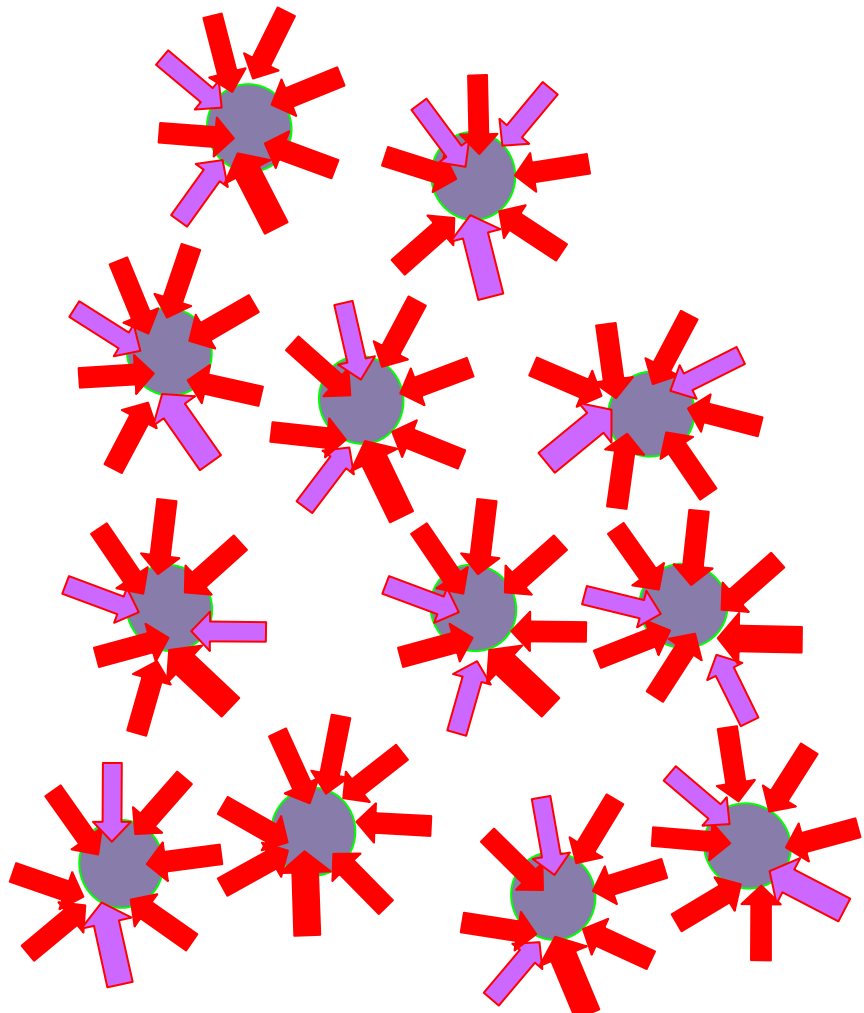
Emulsões O/A



Termodinamicamente instáveis. As gotas de óleo tendem a coalescer, porque a tensão interfacial é positiva.

A redução da área é um processo espontâneo.

Microemulsões

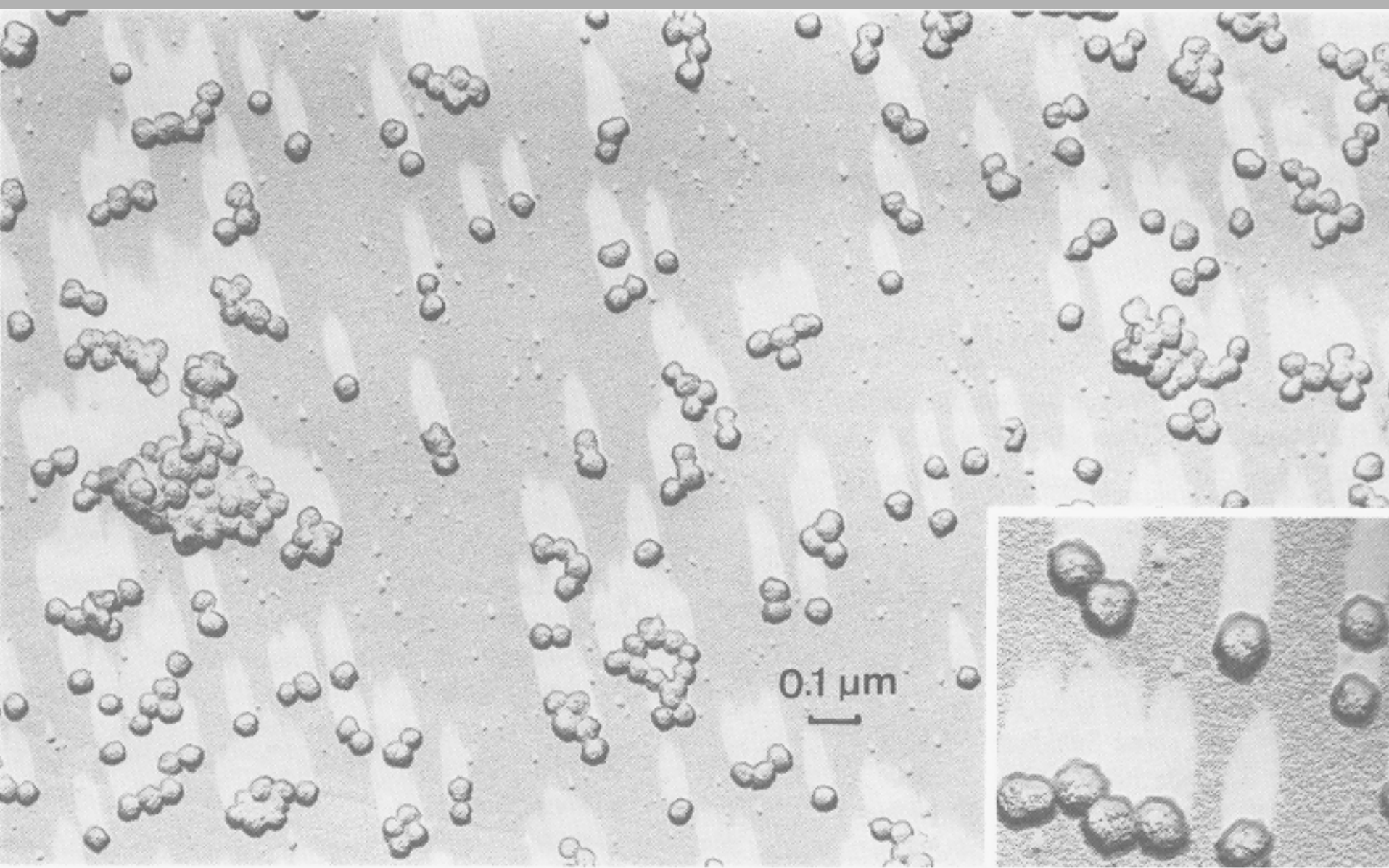


A tensão interfacial é pequena. Portanto, o ganho de entropia devido ao maior número de partículas causa uma diminuição de energia livre que compensa os aumentos de energia livre, devidos ao aumento de área.

*Termodinamicamente
estáveis*

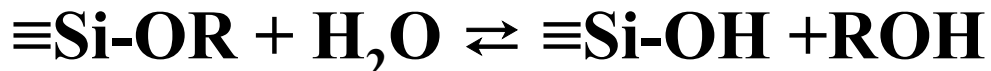
Nanopartículas de hidroxoacetato de ferro (III)

(de $\text{Fe}(\text{CO})_5$, JCIS 1981)



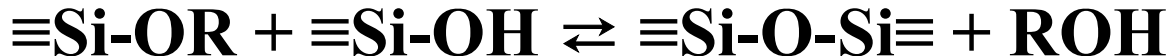
Formação de partículas, géis e vidros

hidrólise



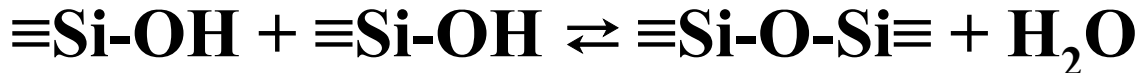
esterificação

condensação com eliminação de álcool



alcoólise

condensação



hidrólise

Em excesso de água, a reação não ocorre de forma completa gerando uma gama de espécies intermediárias $[\text{SiO}_x(\text{OH})_y(\text{OR})_z]$ com vários graus de hidrólise e condensação.

Polimerização

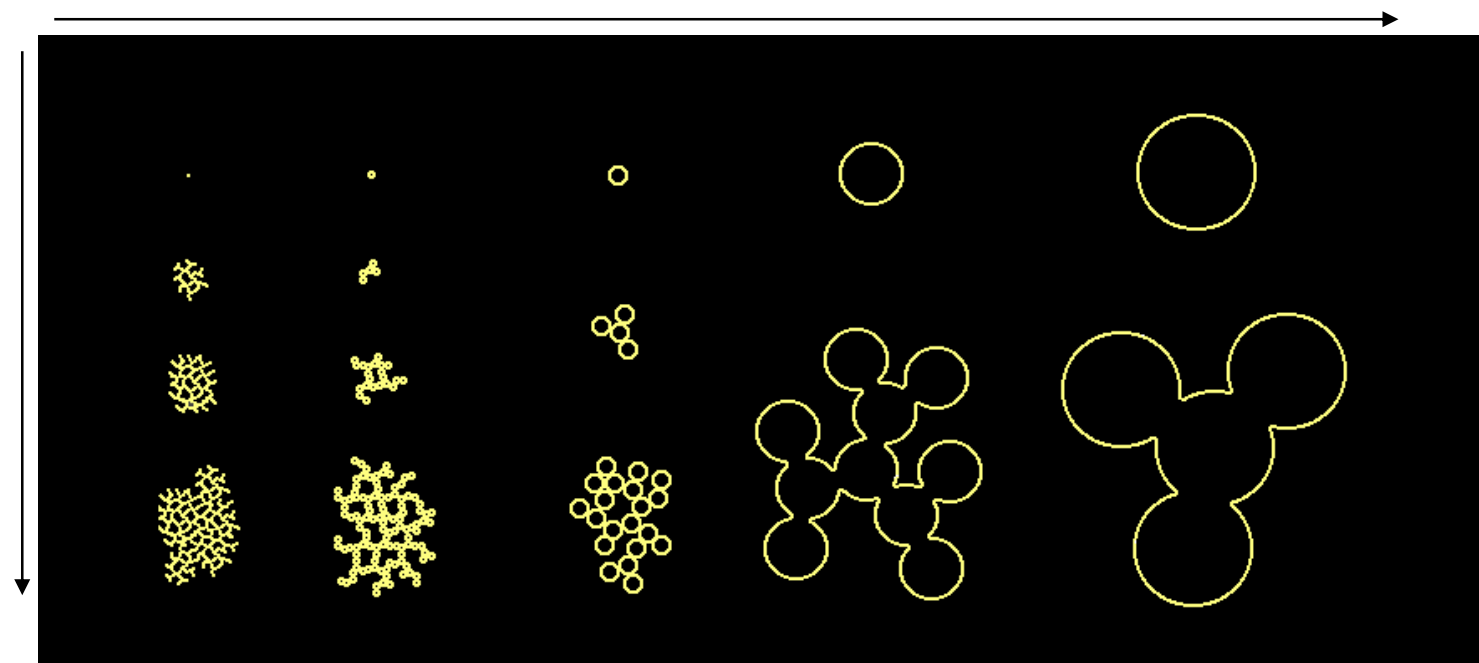
Monômero

Polímero

Partícula

pH 7-10, na ausência de sal

pH <7
ou
pH 7-10
na
presença
de sal



Brinker and Scherrer, 1990

Quanto as partículas são uniformes?

- Distribuição dos constituintes químicos:
 - no interior das partículas?
 - entre diferentes partículas?
- Outras questões:
 - distribuição de cargas elétricas
 - capacidade de formação de filmes
 - localização e distribuição de adsorbatos

Métodos

- Microscopias eletrônica analíticas
- Microscopias de varredura por sonda (SPM)
- Espectroscopia de correlação de fôtons (PCS)
- Potencial zeta
- Espalhamento de luz, raios-X e neutrons
- Ensaios mecânicos em monolitos, filmes...
- Espectrocopias IV, NMR, de massa...

Um exemplo: sílica de Stöber.

Preparação das partículas

	A	B	C	D	E
amônia sat. (mL) (Synth)	2	2.5	3	3.5	4
TEOS (mL) (Merck)	4	4	4	4	4
etanol (mL) (Merck)	50	50	50	50	50



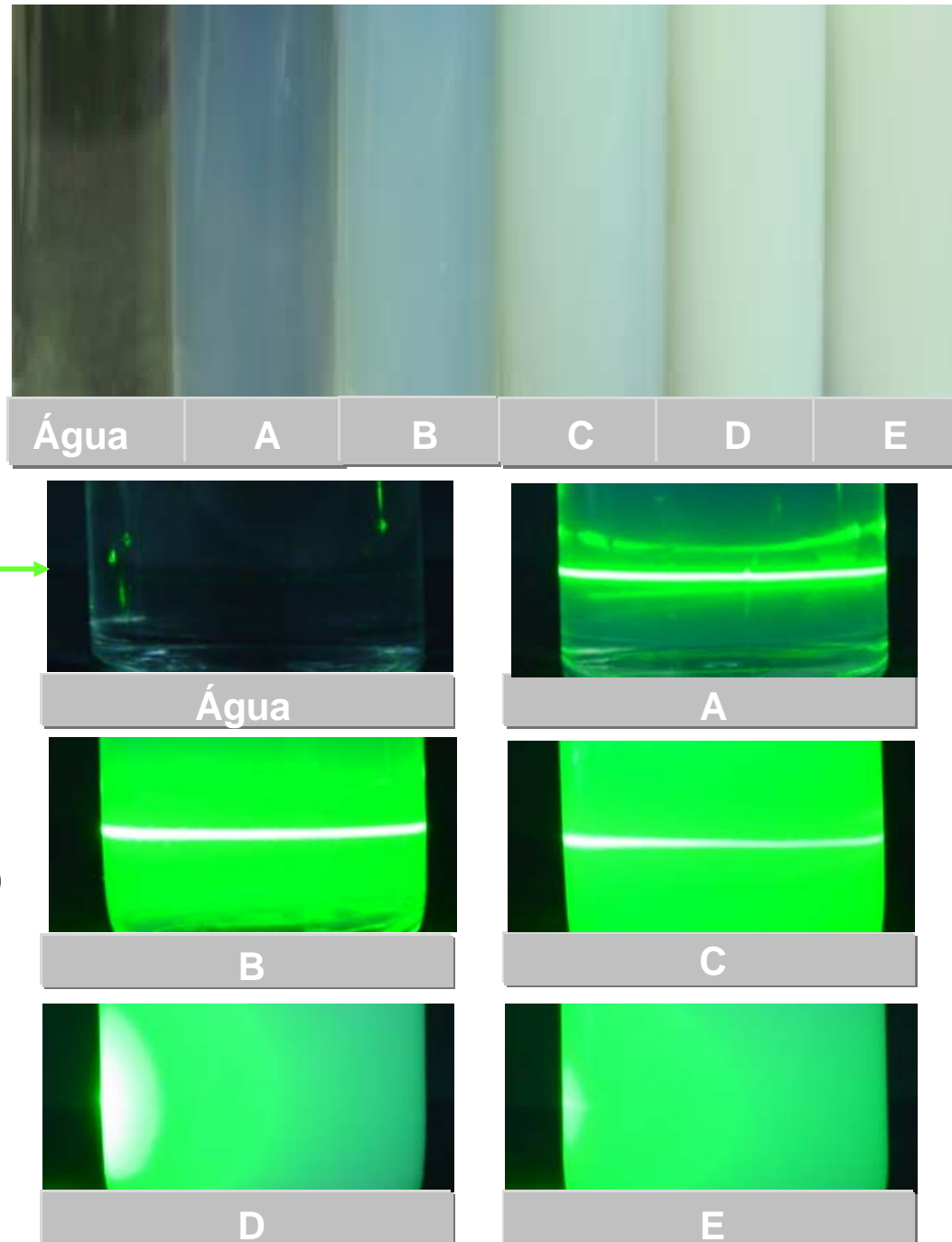
- sob sonicação contínua: 25 kHz 200 watts por 2 horas, 36° C

Dispersões de sílica em etanol

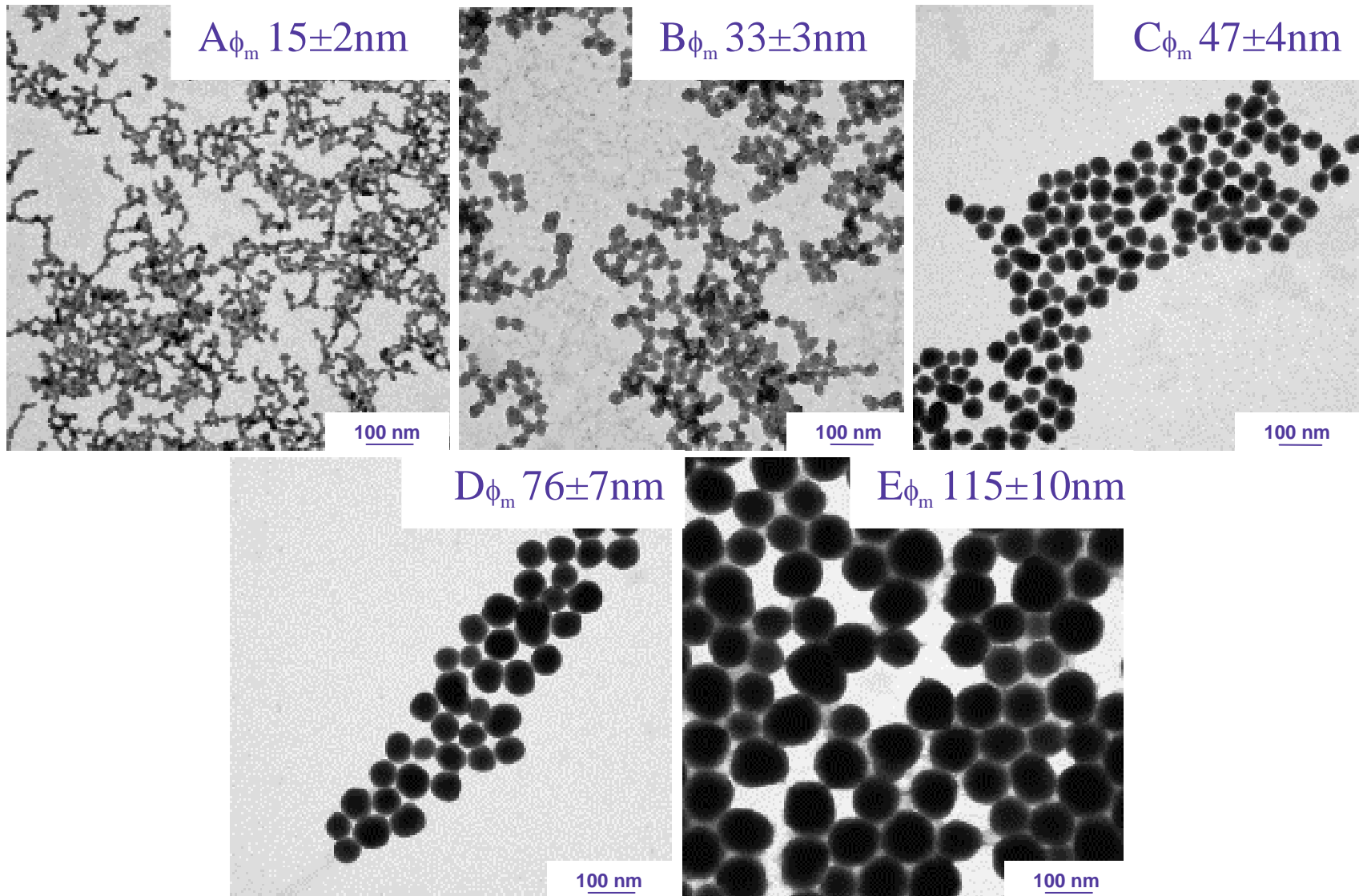
- incidência indireta de luz branca

laser →

- incidência de um feixe de laser (5 mW e 532nm)



TEM

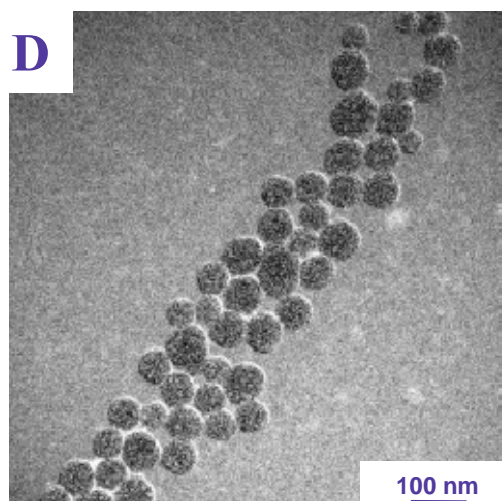
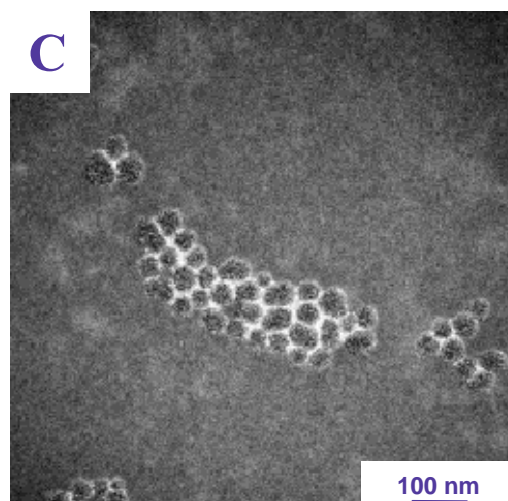
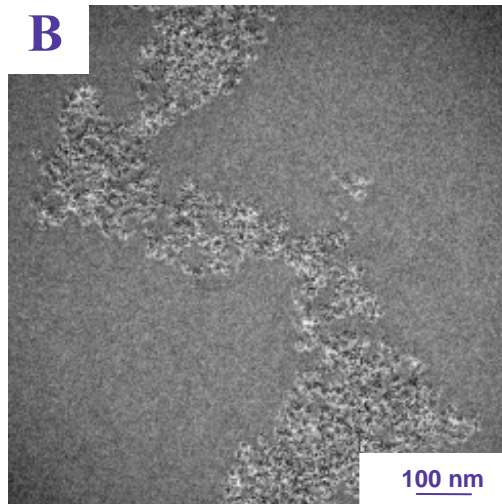
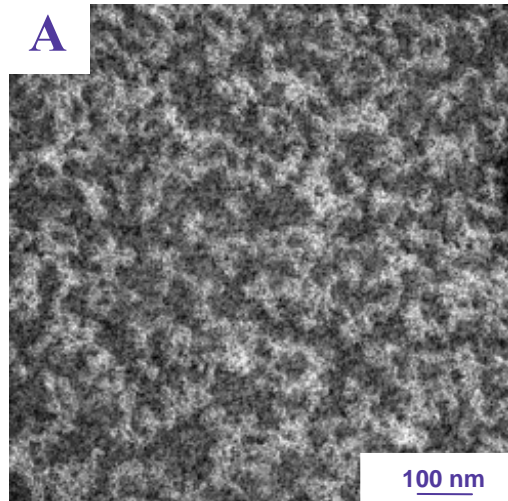


Diâmetros médios em diferentes meios

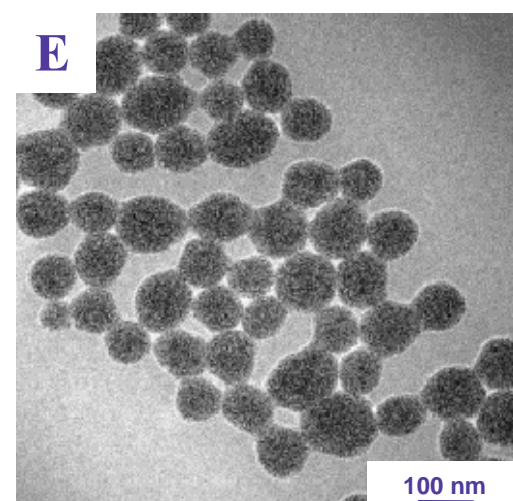
Amostra		A	B	C	D	E
água, 25ºC	PCS (nm)	54±5	66±6	77±2	103±1	136±1
etanol, 25ºC	PCS (nm)	72±2	74±2	67±6	99±1	131±1
ar, 55% UR, 25ºC	AFM (nm)	33±2	45±4	57±5	81±8	125±11
10 ⁻⁶ mbar	FESEM(nm)	22±2	39±3	51±4	79±7	118±10
10 ⁻⁶ mbar	TEM (nm)	15±2	33±3	47±4	76±7	115±10
Coeficiente de intumescimento em água (% em volume)		4500	700	340	149	65
Coeficiente de intumescimento em etanol (% em volume)		10900	1028	190	121	48
Conteúdo de sólidos (% em massa)		2.7	2.7	2.6	2.5	2.5
Potencial Zeta (em KCl 10 ⁻³ M) (mV)		-27	-38	-36	-46	-49

- As partículas apresentam grandes variações de volume em função do meio, especialmente as partículas menores.

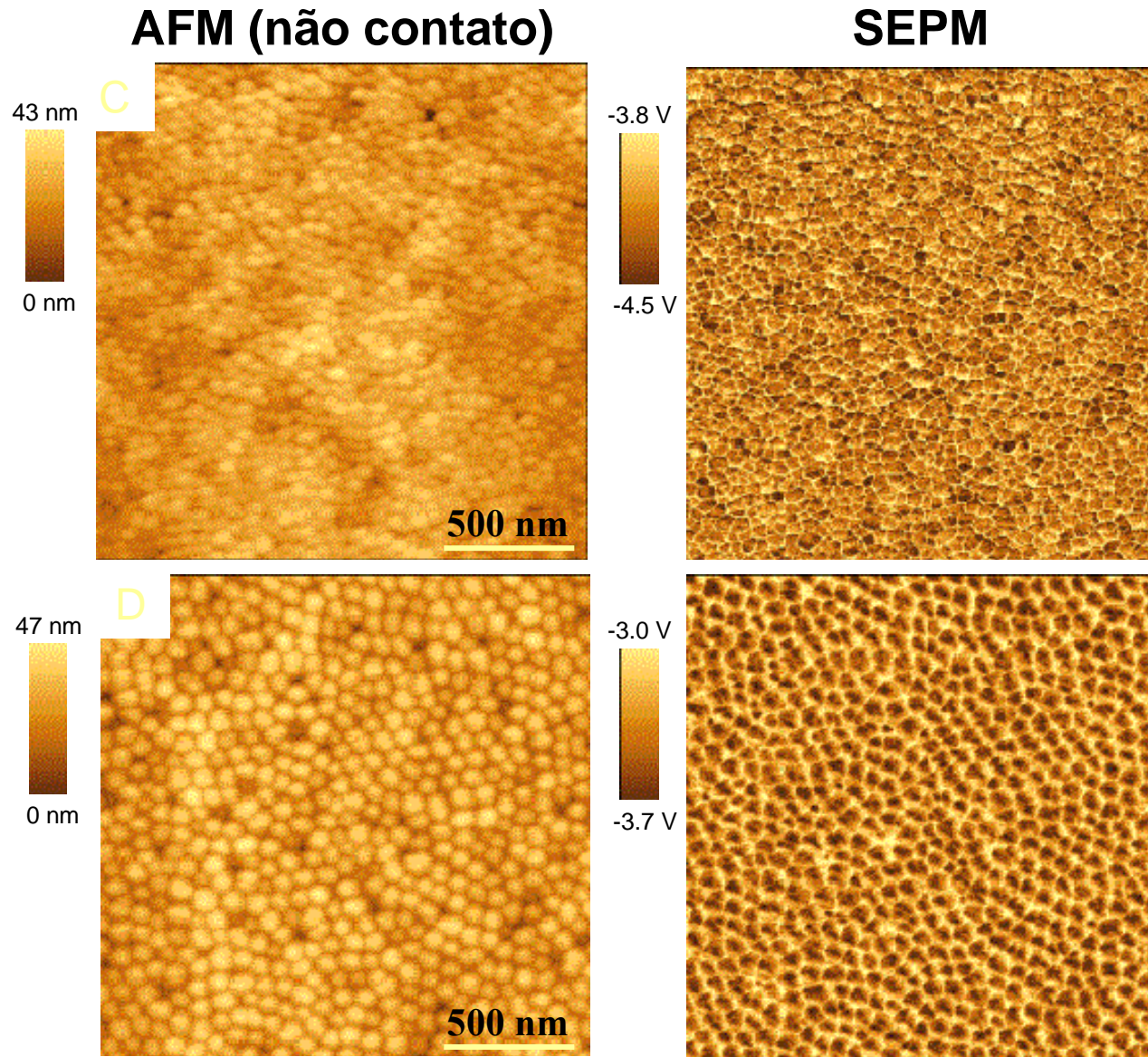
Mapas de carbono (EELS)



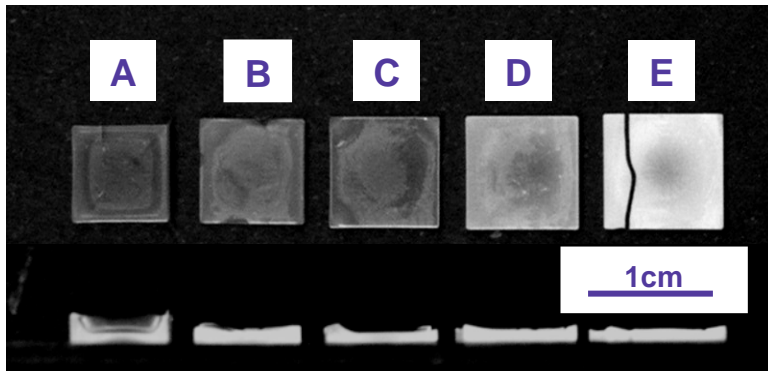
- As partículas menores apresentam carbono distribuído por toda partícula
- As partículas maiores apresentam traços de carbono nos interstícios das partículas



Imagens de potenciais elétricos

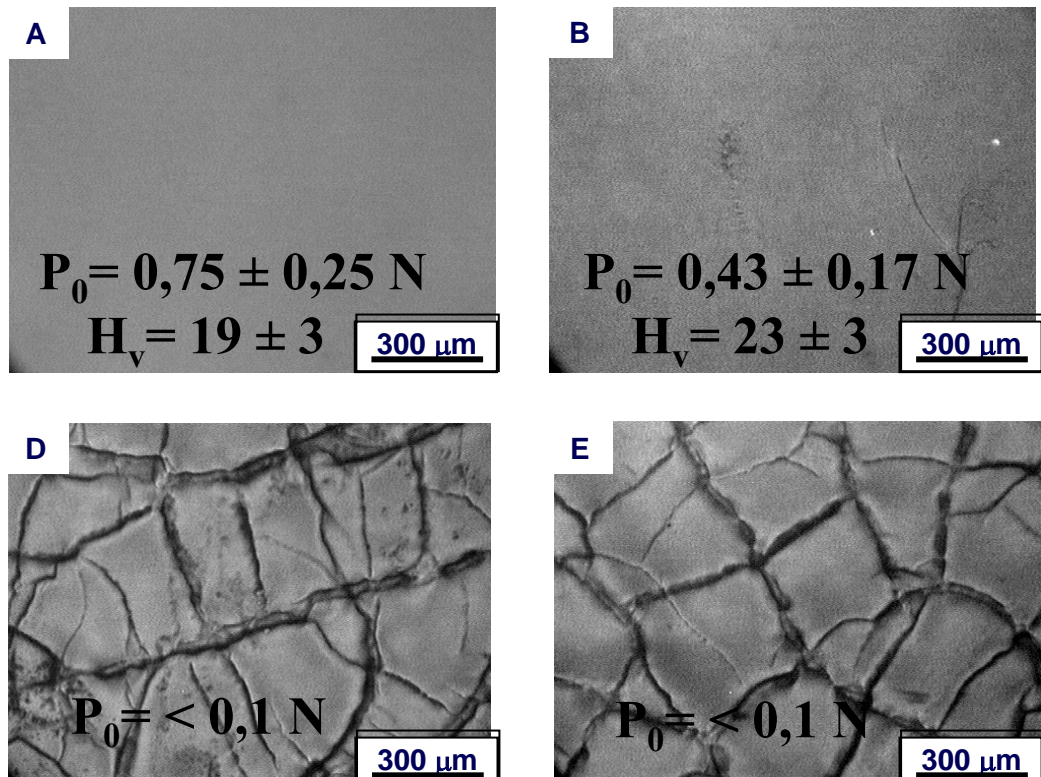


Monolitos de partículas de sílica



- Monolitos com partículas maiores:
 - menos espessos
 - baixa contração linear
 - mais opacos
 - mais duros e quebradiços

- Monolitos com partículas menores:
 - superfície sem rachaduras
 - mais transparentes
 - elevada contração linear
 - maior tenacidade à fratura



Monômero

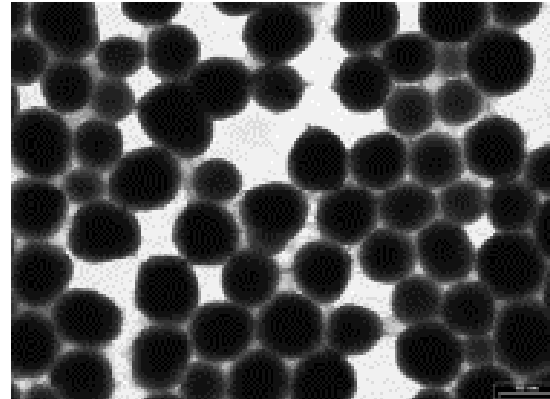
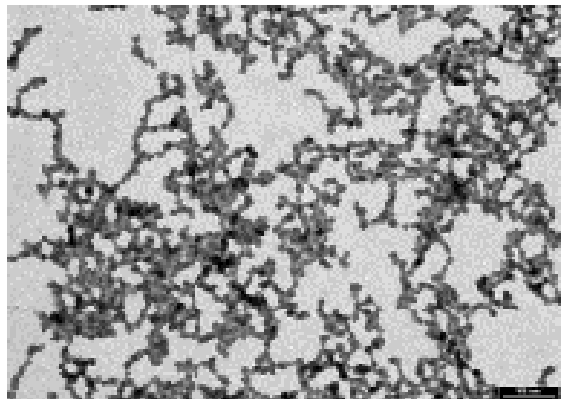
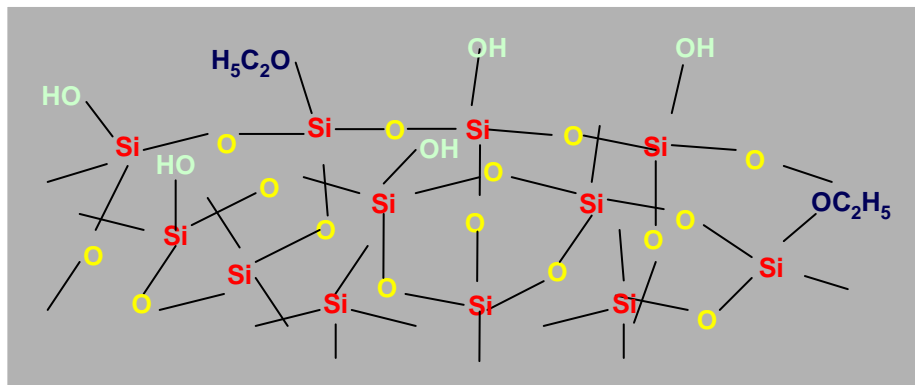
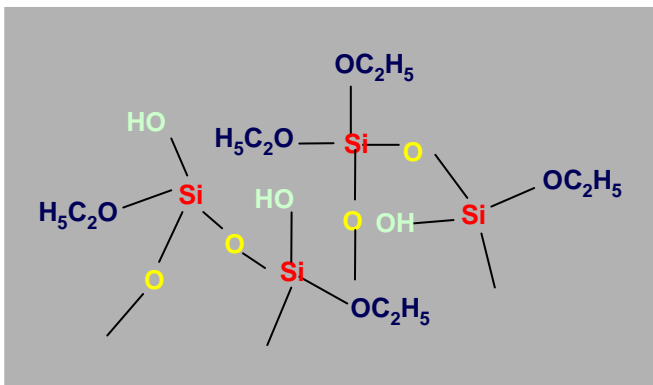


↓
Polímero



↓
Partícula

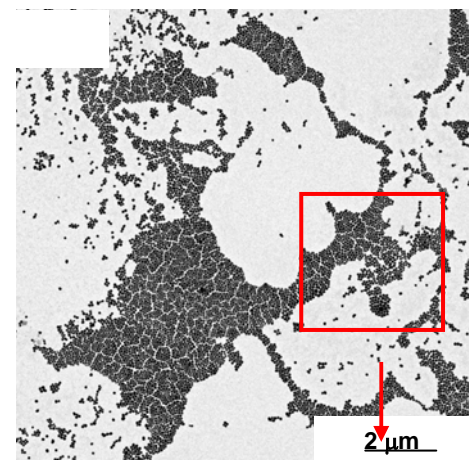
pH 7-10, na ausência de sal



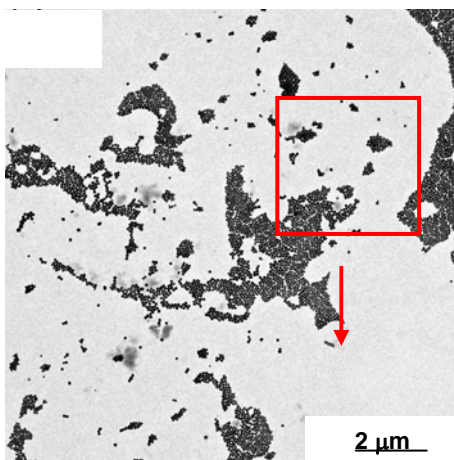
Efeito da concentração de PNIPAM

$t = 20^\circ\text{C}$, massa molar = 90 kg/mol

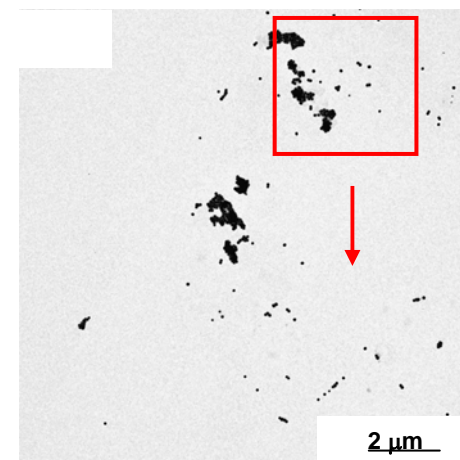
Sem polímero



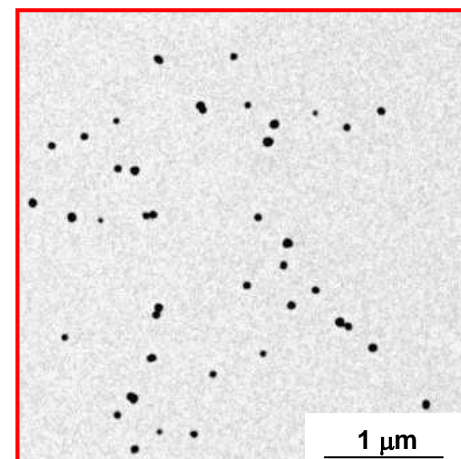
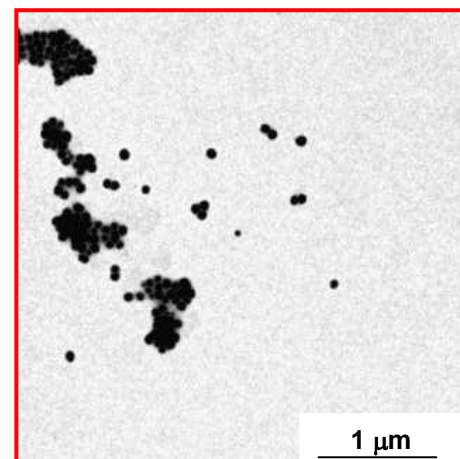
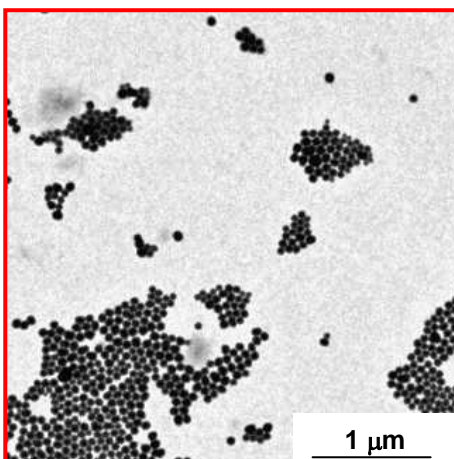
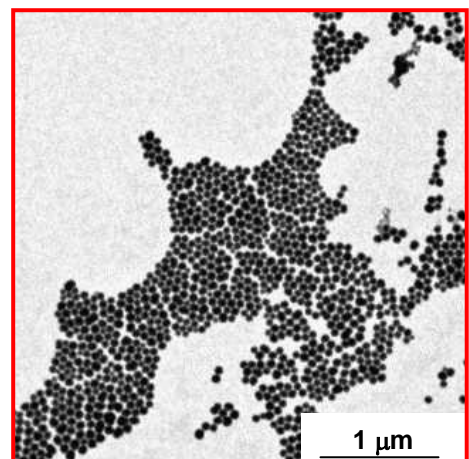
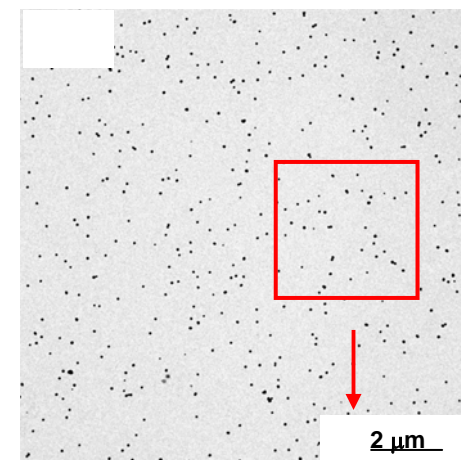
10^{-5} g/mL



10^{-4} g/mL



10^{-3} g/mL



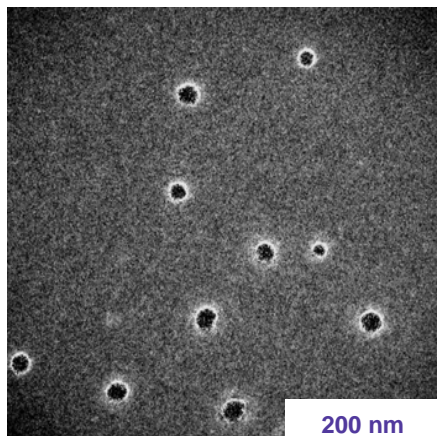
A dispersão das partículas aumenta com a concentração do polímero

Mapas elementares de carbono

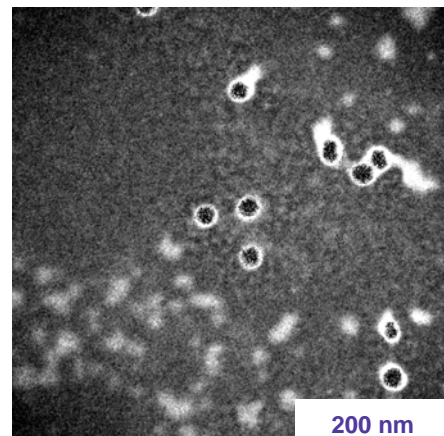
Efeito da massa molar

$$C_p = 10^{-3} \text{ g/mL}, T = 20^\circ\text{C}$$

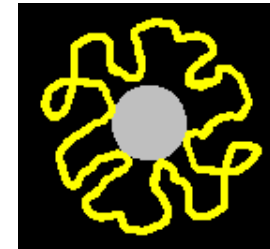
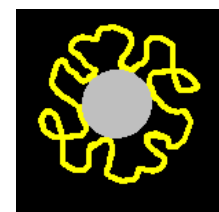
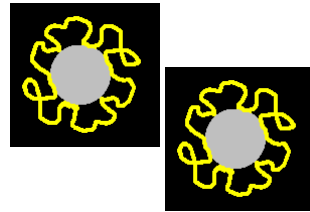
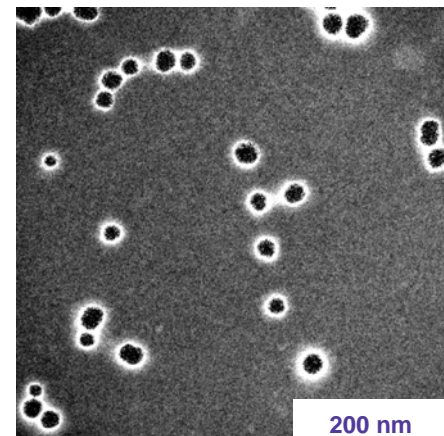
90 kg / Mol



190 kg / Mol



1050 kg / Mol



A espessura da camada adsorvida aumenta com a massa molar

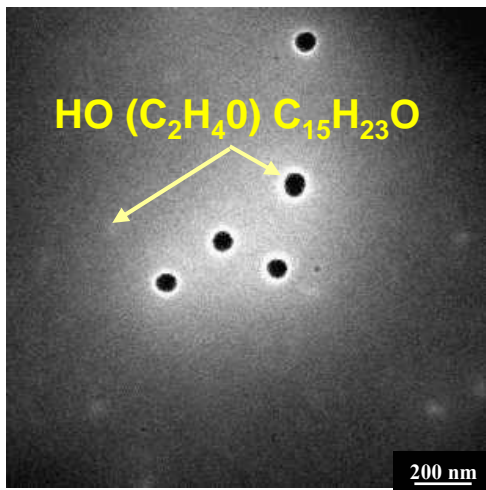
Sorção de tensoativos

- Estudo da influência da sorção de tensoativos na organização das partículas em duas dimensões
- Observação direta da organização das partículas
- Observação direta da sorção do tensoativo e do contra-íon

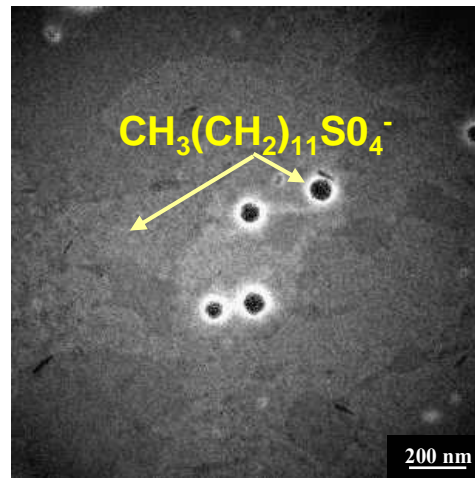
Sorção de tensoativos

Mapas elementares de carbono $\Delta E = 284 \pm 8$ eV

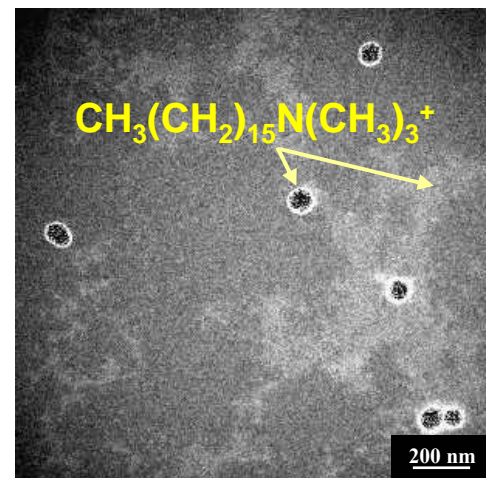
Renex 10⁻¹ M



SDS 10⁻¹ M



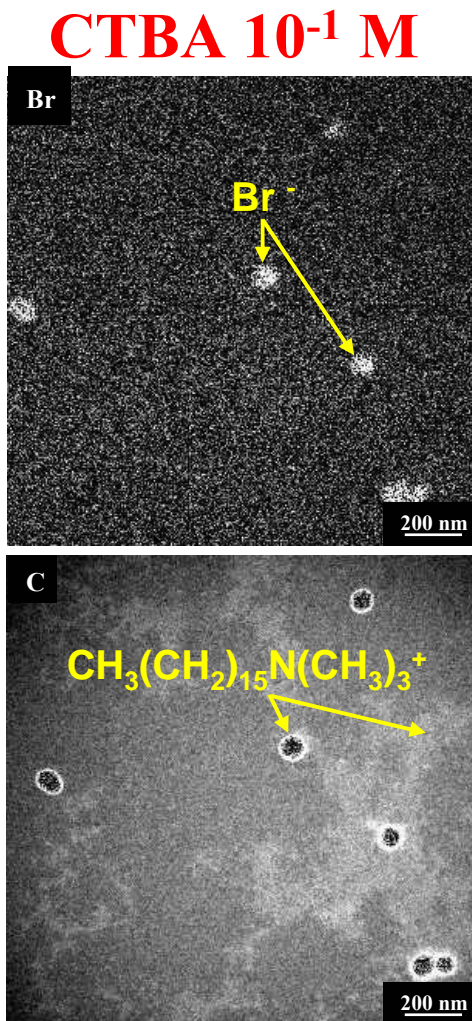
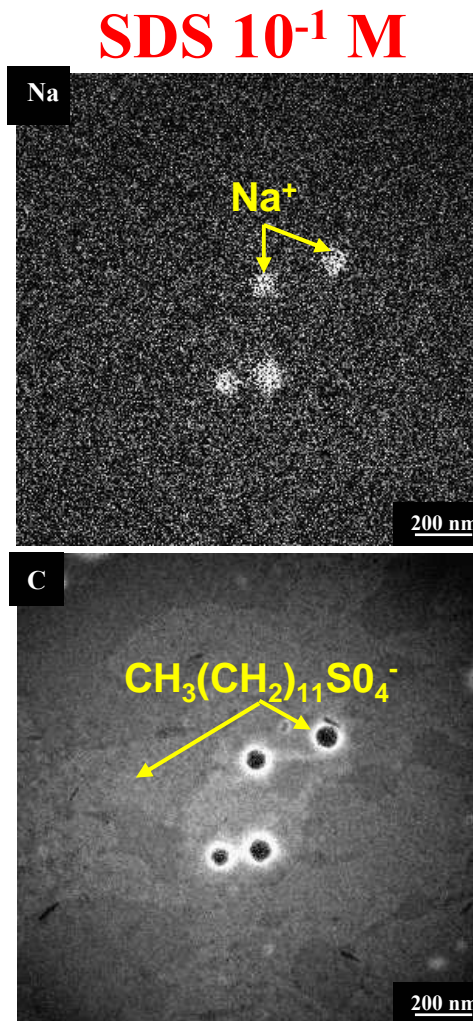
CTAB 10⁻¹ M



- Os tensoativos são retidos na superfície das partículas, não sendo verificada sua presença no interior destas
- São observados depósitos de tensoativos distribuídos com formato irregular em algumas regiões sobre o substrato

Sorção dos contra-íons

Mapas elementares de sódio, bromo e carbono



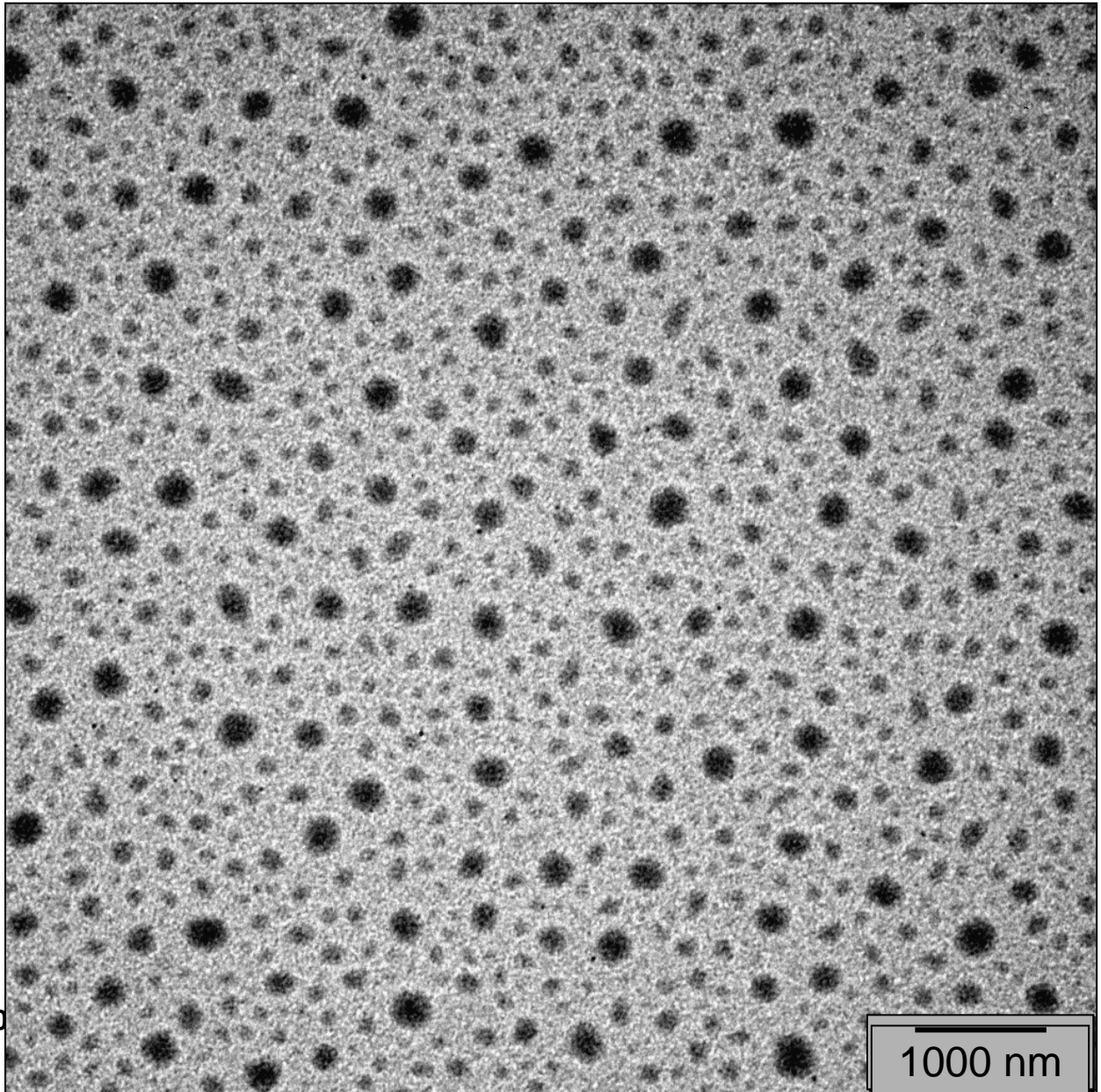
- Os contra-íons são sorvidos no interior das partículas
- Os contra-íons não estão acumulados sobre o tensoativo no substrato

Efeito de tensoativos na formação de látex

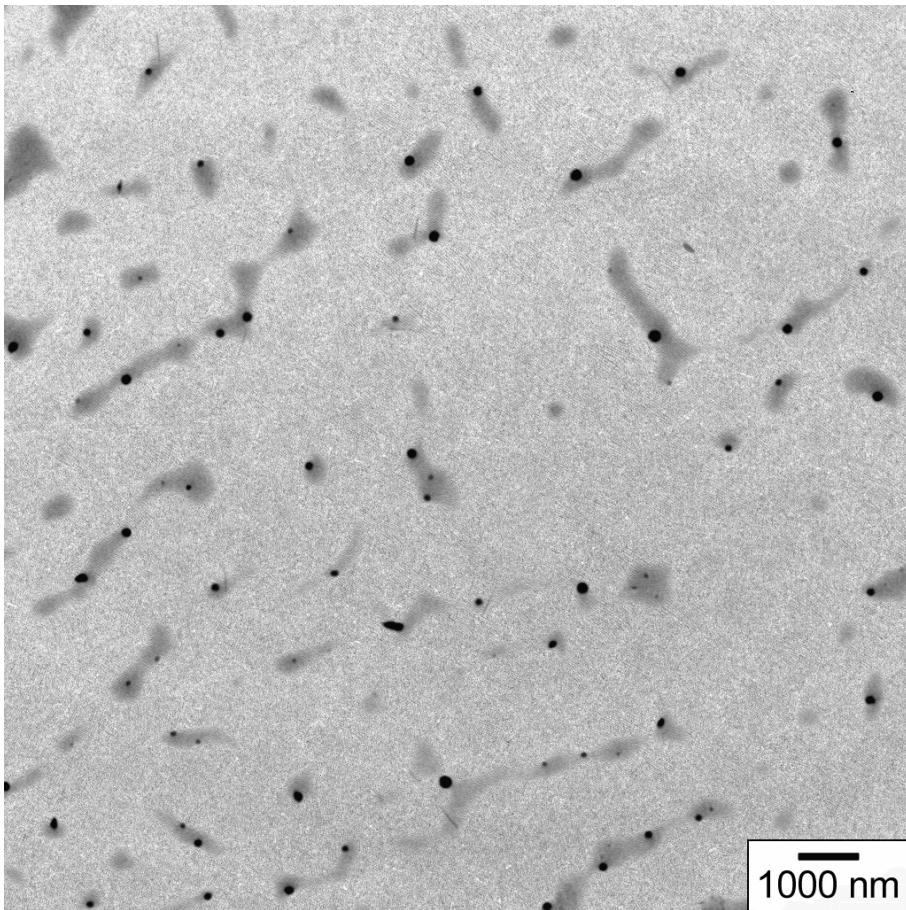
- 💡 Problema: como os diferentes tensoativos afetam as propriedades de um látex preparado por polimerização em emulsão (S-BA-AA)?
- 💡 Resultados:
 - Cada tensoativo produz um látex peculiar
 - Um procedimento de uma só etapa para produzir látex com distribuição bimodal de diâmetros
 - Procedimento simples para preparar um nanolátex com alto teor de sólidos

Distribuição
bimodal

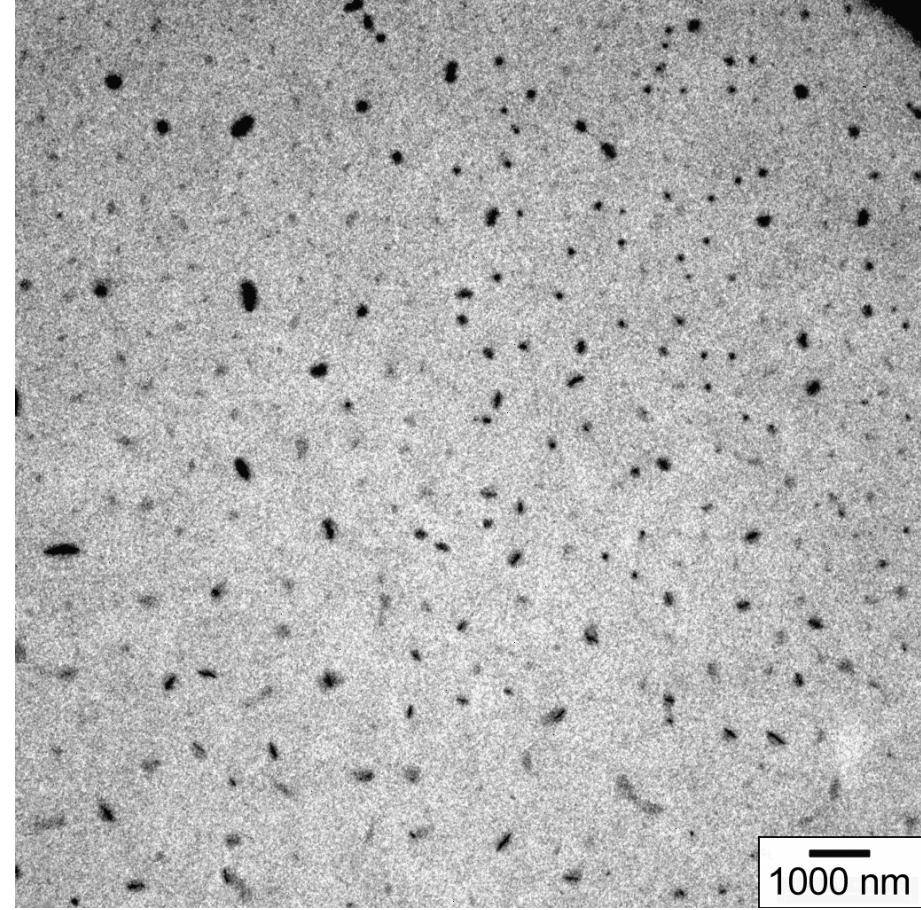
Nonilfenol EO₄ e EO₄₀



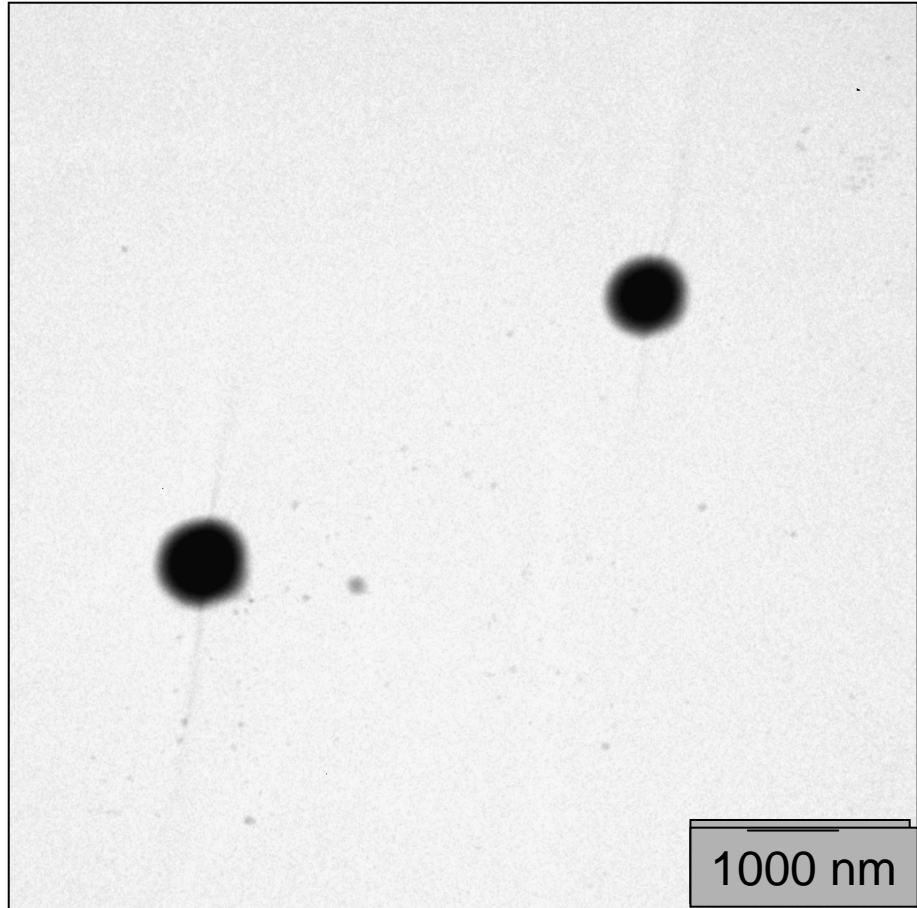
Nanolatex (RE400A)



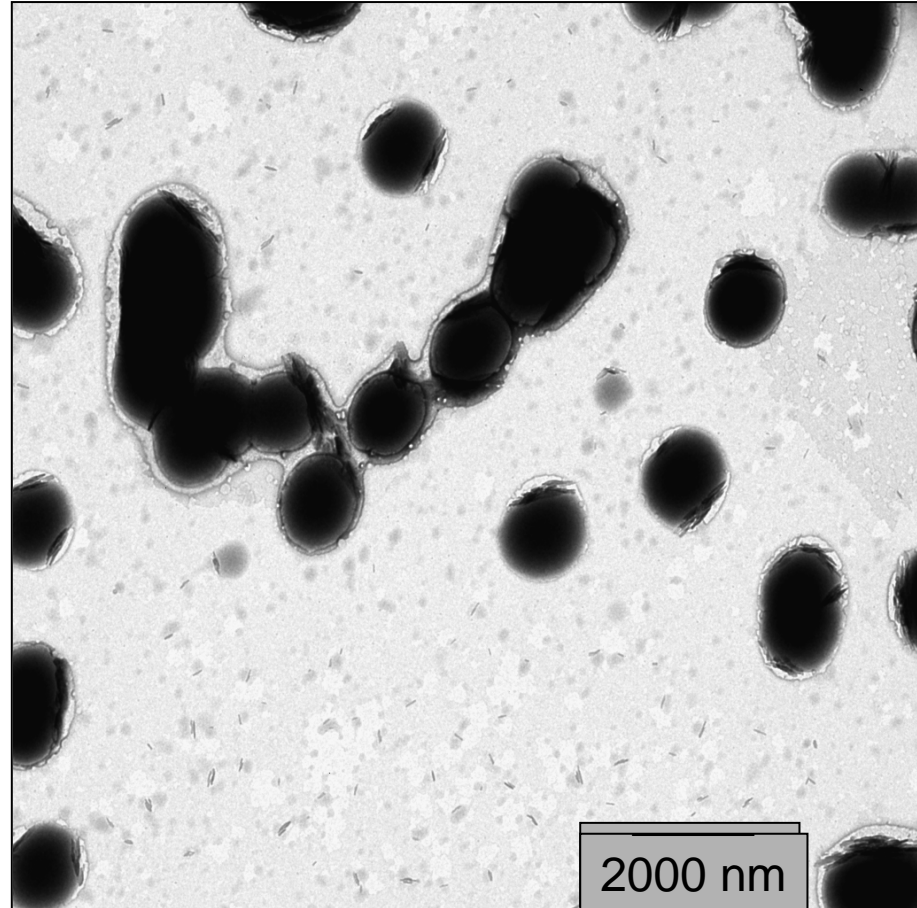
Nonilfenol 40 EO



Látex RE040A



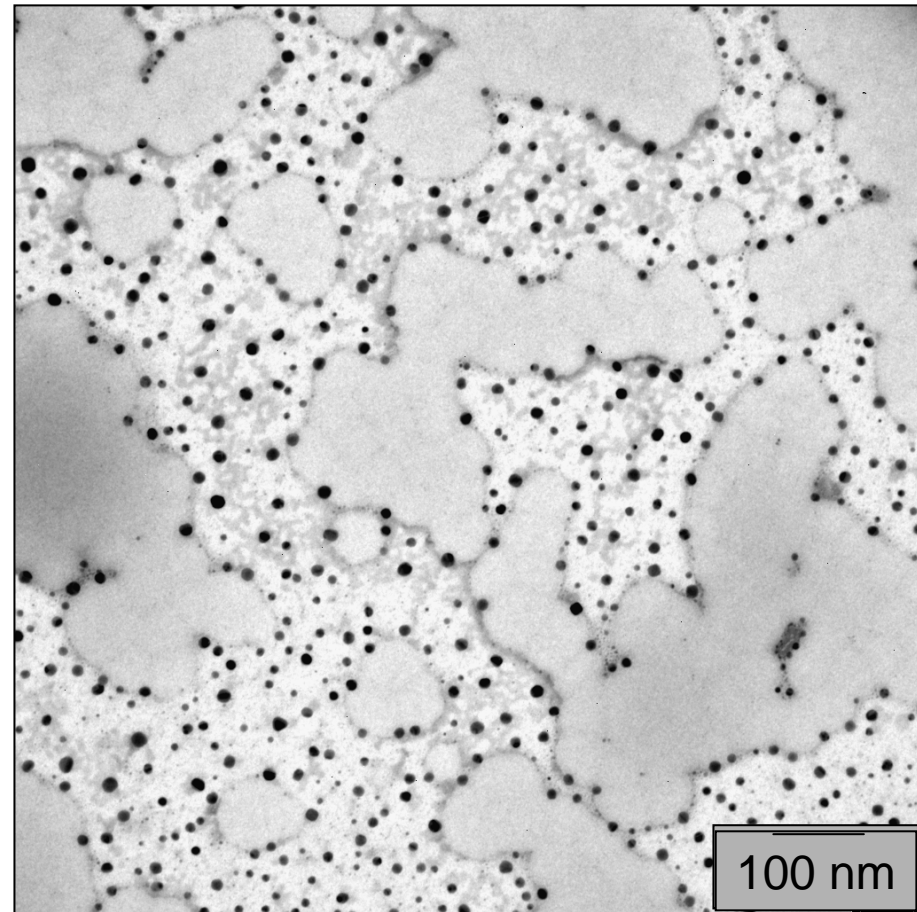
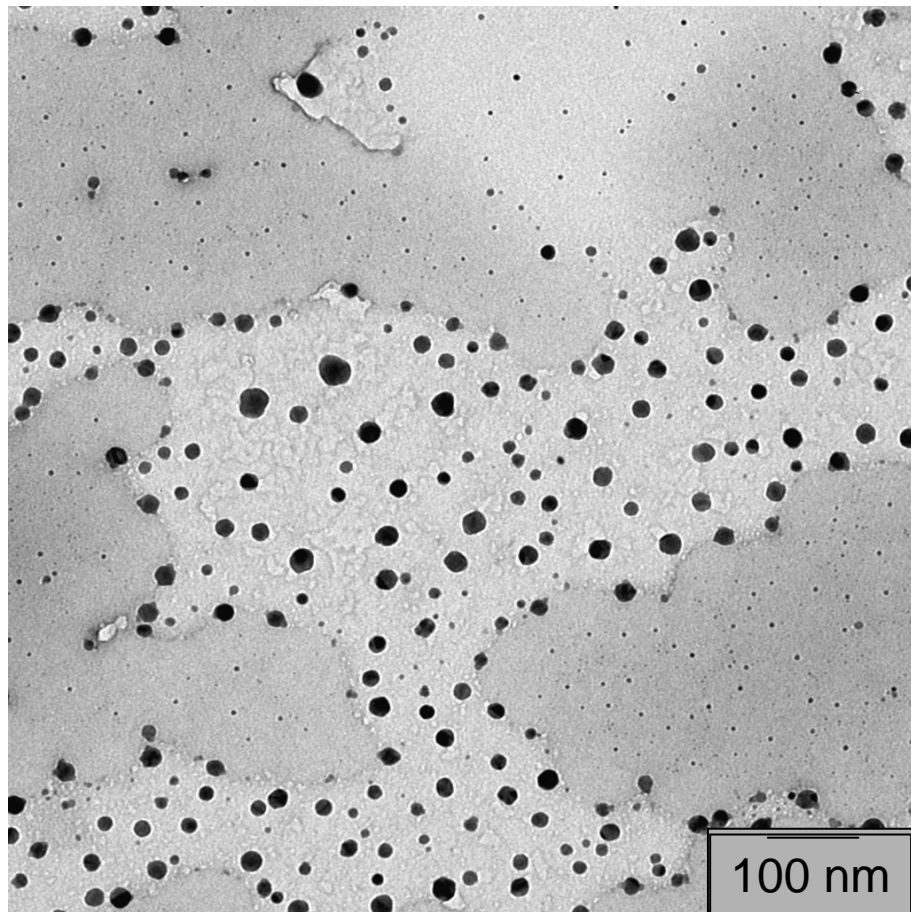
1000 nm



2000 nm

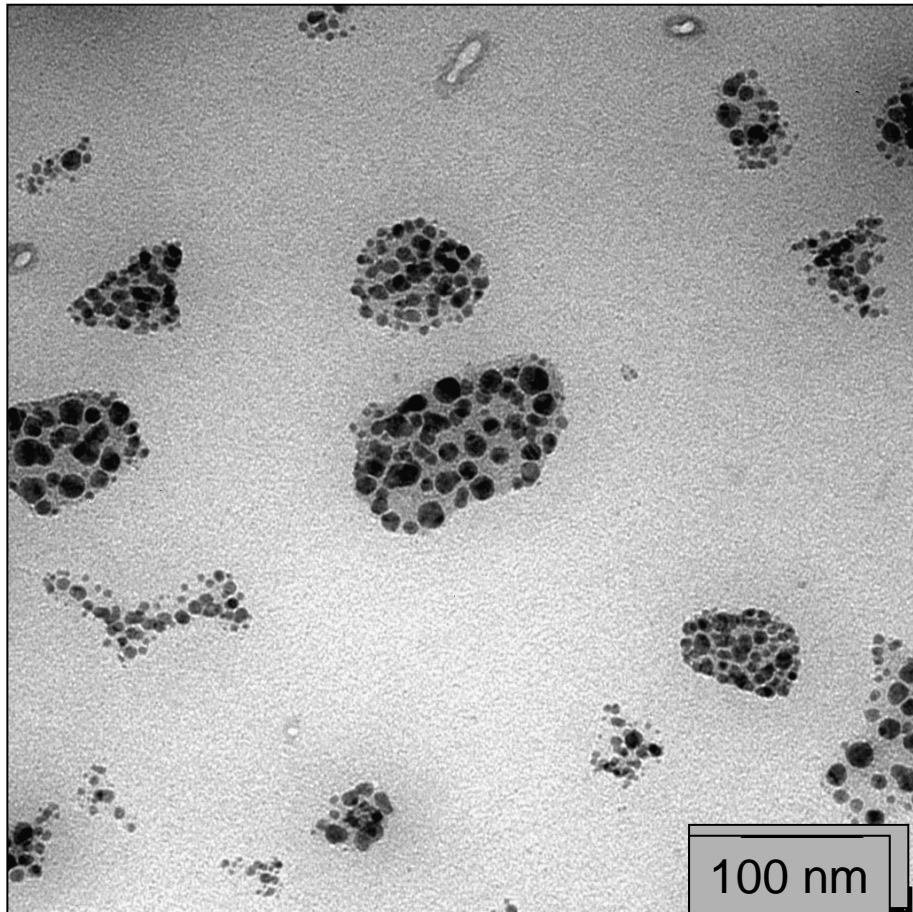
Nonilfenol 4 EO

Látex UNL23A

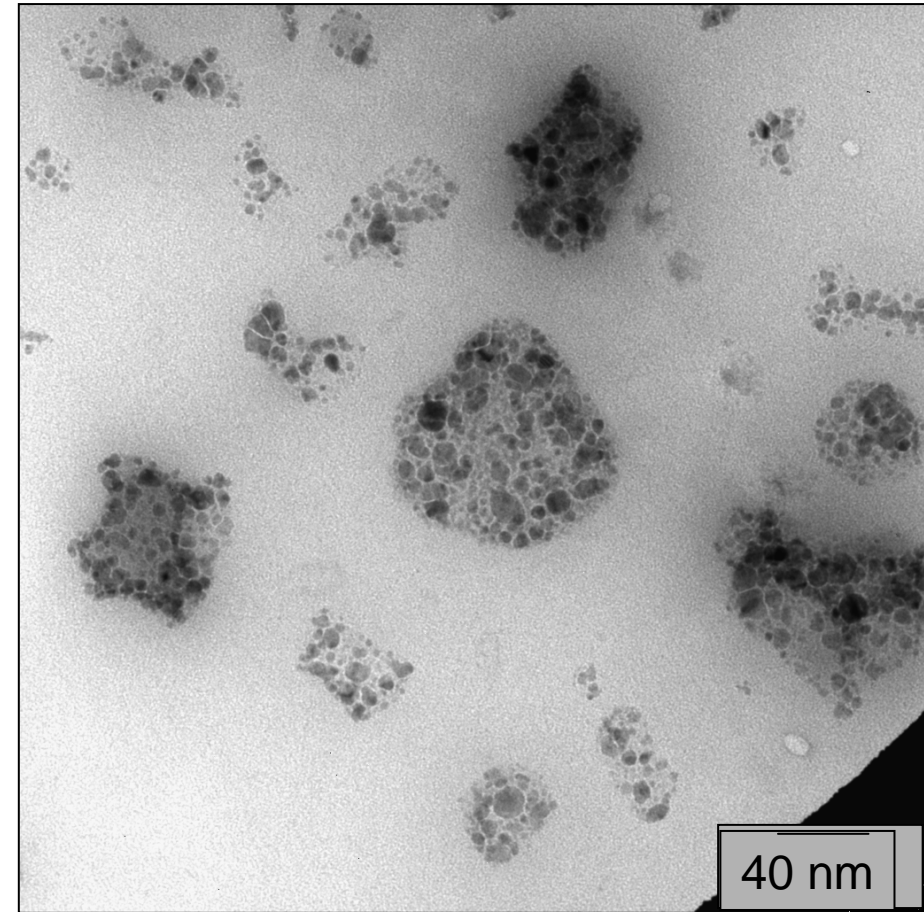


Álcool laurílico 23 EO

Látex UOR40A



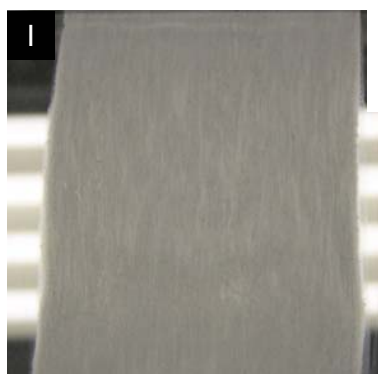
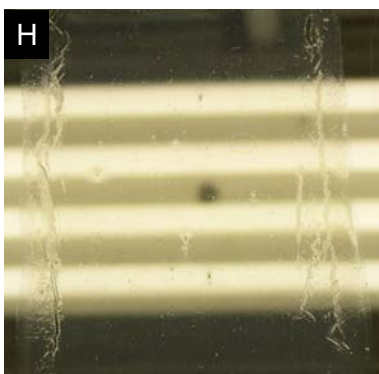
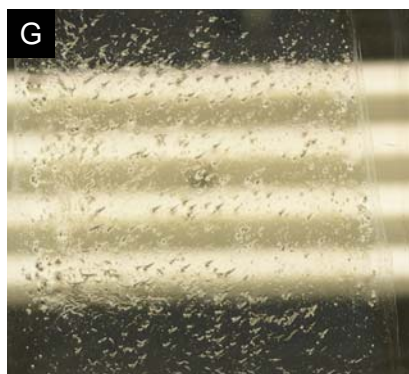
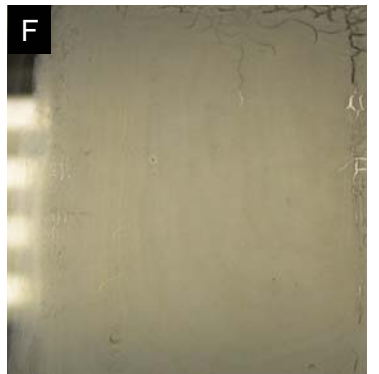
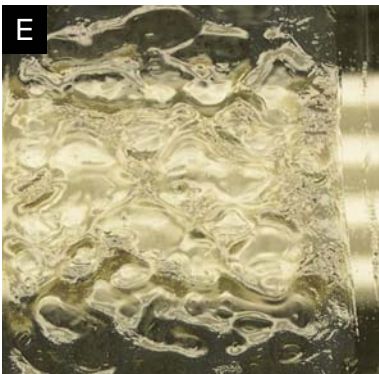
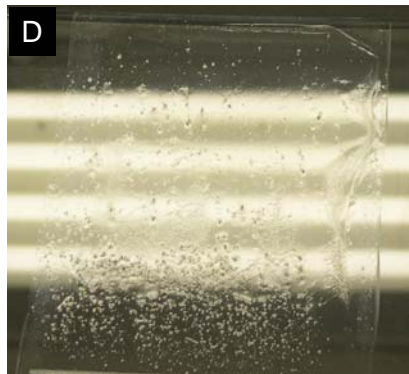
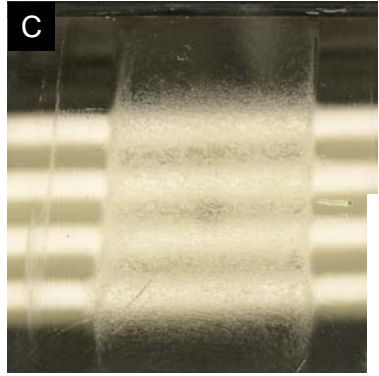
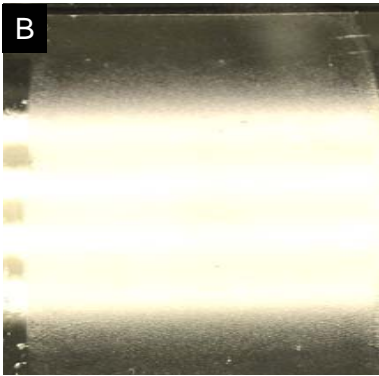
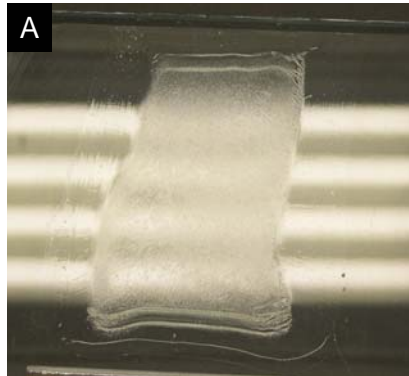
100 nm



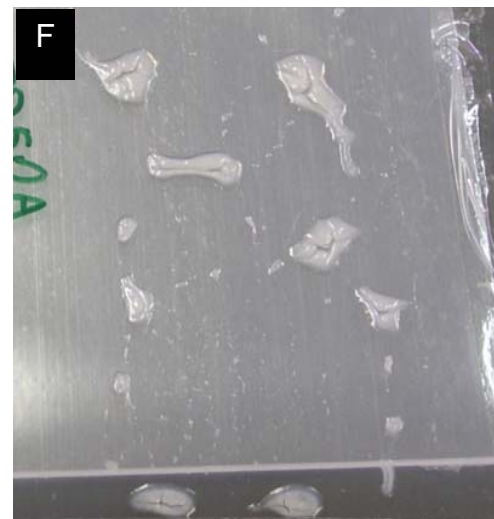
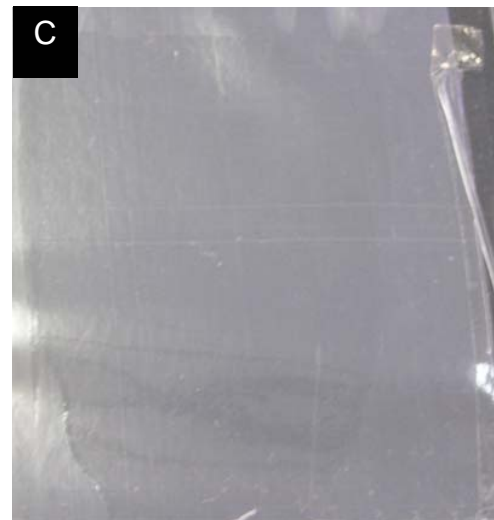
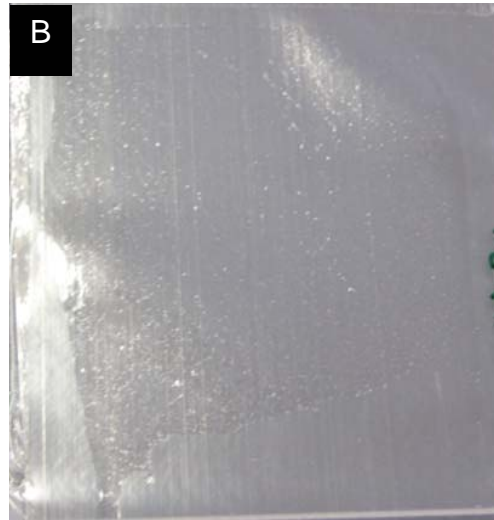
40 nm

Óleo de mamona 40 EO

Os filmes obtidos com os látexes tem características bastante diferentes



Adesão ao polietileno



- 6,777,480 Networked polymer/clay alloy
- 6,777,479 Polyamide nanocomposites with oxygen capability
- 6,773,823 Sequential synthesis of core-shell nanoparticles using reverse micelles
- 6,770,697 High melt- scavenging strength polyolefin composites and methods for making and using same
- 6,765,049 High acid aqueous nanocomposite dispersions
- 6,764,617 Ferromagnetic conducting lignosulfonic acid-doped polyaniline nanocomposites
- 6,762,237 Nanocomposite dielectrics
- 6,762,233 Liquid crystalline composites containing phyllosilicates
- 6,759,446 Polymer nanocomposite foams
- 6,758,148 Fire blocking method and apparatus
- 6,757,094 Optical shutter assembly
- 6,756,444 Oxygen scavenging polyamide compositions suitable for pet bottle applications
- 6,753,360 System and method of preparing a reinforced polymer by supercritical fluid treatment
- 6,750,282 Flameproof polymer composition

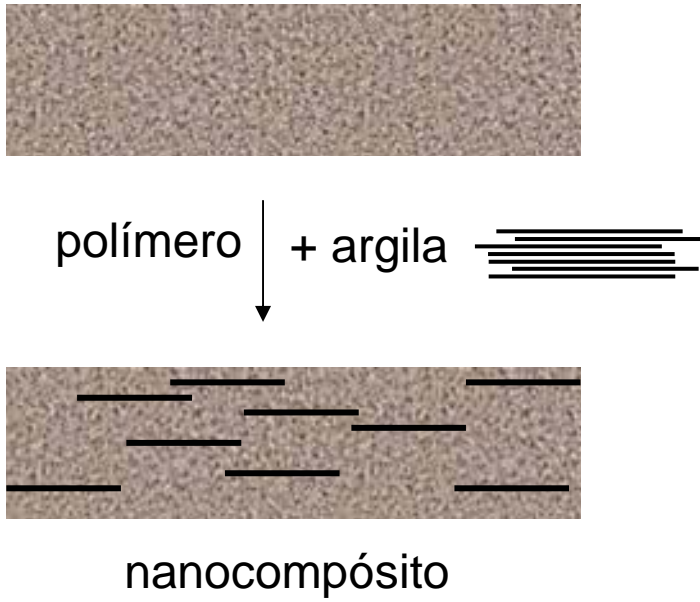
437 patents deposited in the USPTO

<nanocomposite and polymer>

50 deposited between March 30 and August 17 2004

Design de um produto nanotecnológico: nanocompósito

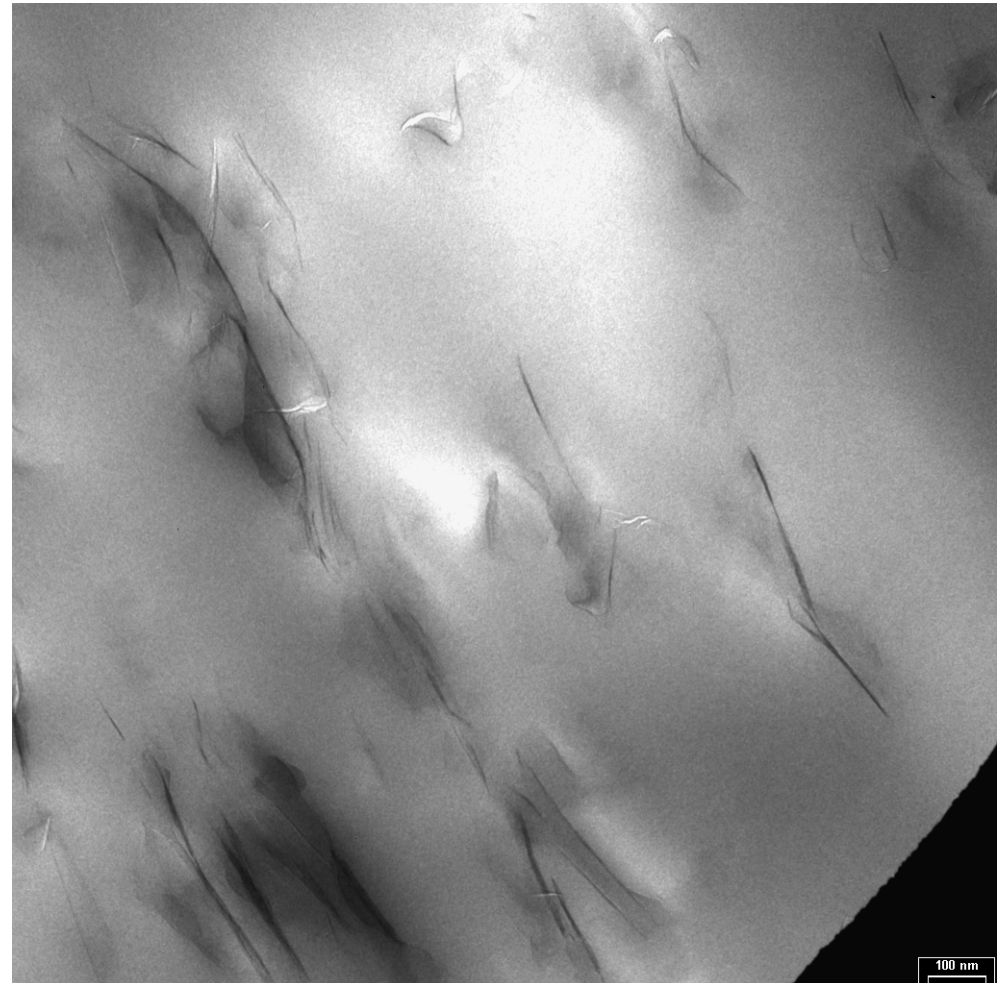
- 💡 Gerar novos materiais poliméricos aproveitando Nanotecnologia



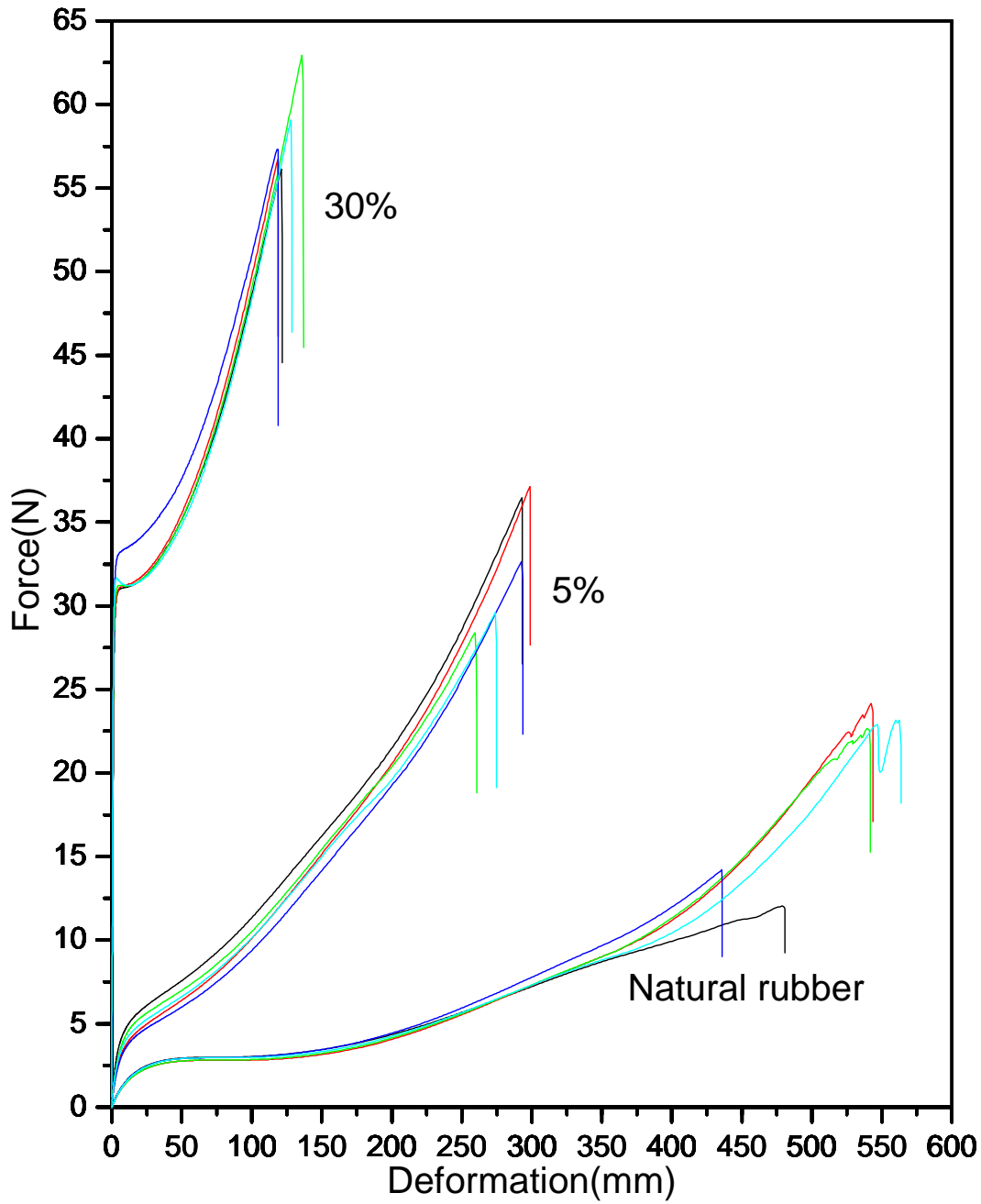
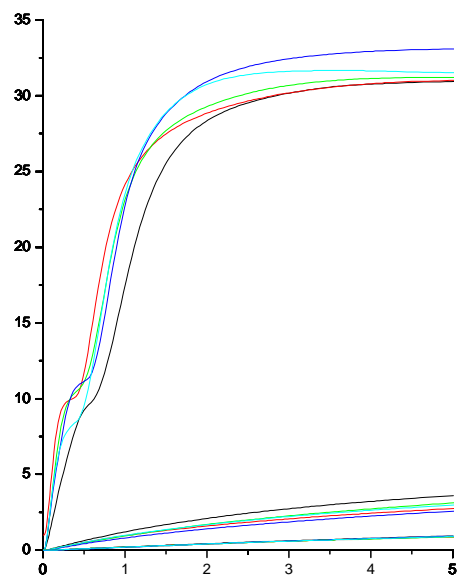
- 💡 InMat/Michelin: redução de permeabilidade de borrachas a gases, para a indústria de pneus.
- 💡 Toyota: montmorillonita em poliamida. Redução de permeabilidade e elevação de temperatura de flexão.
- 💡 Separar lâminas de silicato, dispersar e orientar as lâminas em matriz de polímero.

Nanocompósitos de látex

- ✿ Água é o melhor esfoliante conhecido, de argila
- ✿ Água é o dispersante de látexes
- ✿ Látex + argila esfoliada, seco = nanocompósito



Propriedades mecânicas atraentes



Conclusão

- ✿ Partículas coloidais, inclusive as nanopartículas, podem apresentar uma grande complexidade
 - Morfológica
 - Topoquímica
- ✿ As possibilidades de estruturação das partículas são ilimitadas mas dependem de sua estrutura em escala nanométrica